

บทที่ 2  
ทฤษฎีและแนวคิด

ความนำ

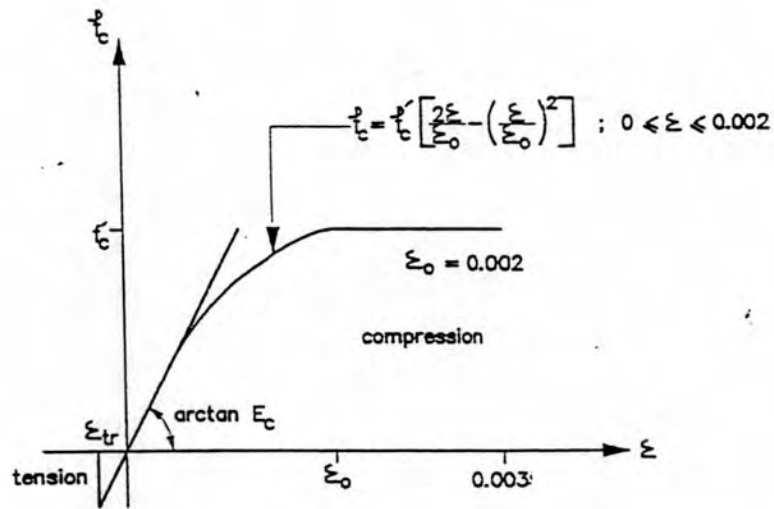
ในงานวิจัยนี้ได้เสนอวิธีการวิเคราะห์โครงข้อแข็งคอนกรีตเสริมเหล็ก เพื่อคำนวณความสามารถในการรับน้ำหนักบรรทุกสูงสุดของโครงข้อแข็งในระนาบที่ทราบขนาดของหน้าตัดและปริมาณเหล็กเสริมโดยได้แบ่งการวิเคราะห์ออกเป็น 3 ขั้นตอนหลัก ดังนี้

- การวิเคราะห์อิลาสติกอันดับที่สองเพื่อพิจารณาถึงความไม่เป็นเชิงเส้นทางเรขาคณิต
- การวิเคราะห์หน้าตัดเพื่อพิจารณาถึงความไม่เป็นเชิงเส้นทางวัสดุ
- การวิเคราะห์เมื่อเกิดจุดหมุนพลาสติก

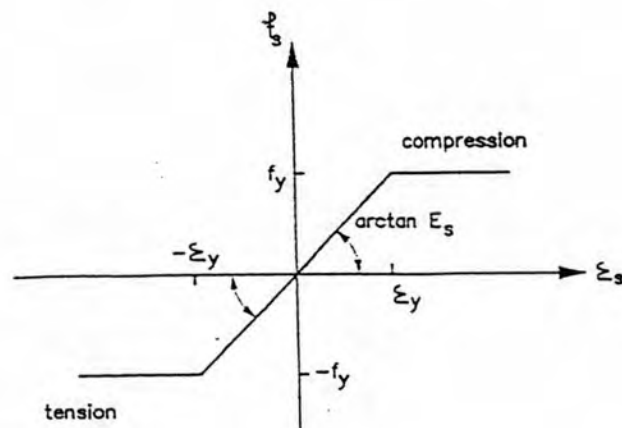
การวิเคราะห์อิลาสติกอันดับที่สองและการวิเคราะห์หน้าตัดเมื่อนำมาพิจารณาร่วมกันในการวิเคราะห์ต้องสอดคล้องกัน คือ ความเครียดที่ได้จากทั้งสองวิธีต้องมีค่าเท่ากัน

สมมติฐานที่ใช้

1. ความสัมพันธ์ระหว่างหน่วยแรงและความเครียดของคอนกรีต ดังแสดงในรูปที่ 2.1 โดยที่ค่าโมดูลัสยืดหยุ่นคอนกรีต เนื่องจากหน่วยแรงตั้งเท่ากับหน่วยแรงอัด (Baker and Amarakorn , 1964)
2. ความสัมพันธ์ระหว่างหน่วยแรงและความเครียดของเหล็กเป็นแบบอิลาสติก- พลาสติก สมบูรณ์ (elastic - perfectly plastic) ดังแสดงในรูปที่ 2.2
3. ความเครียดมีค่าเป็นสัดส่วนโดยตรงกับระยะจากแนวแกนสะเทิน นั่นคือระนาบของหน้าตัดชั้นส่วนจะยังคงเป็นระนาบทั้งก่อนและหลังการแตกร้าว.
4. พิจารณาเฉพาะหน้าตัดที่เหล็กเสริมสมมาตรกัน ดังนั้นในการวิเคราะห์หน้าตัดกำหนดให้แรงในแนวแกนกระทำที่กึ่งกลางความลึกของหน้าตัดเท่านั้น
5. คำนึงถึงผลของการแตกร้าว โดยเมื่อโมเมนต์ดัดเกินกว่าโมเมนต์การแตกร้าว กำหนดให้สถิติเนสของการดัดแปรเปลี่ยนเป็นแบบพาราโบลาลดความยาวขององค์อาคาร
6. เงื่อนไขของการเกิดจุดหมุนพลาสติกพิจารณาจากการกระจายความเครียดของหน้าตัด ในการวิเคราะห์หน้าตัดเมื่อความเครียดที่มีวบนสุดเนื่องจากหน่วยแรงอัดของคอนกรีต เท่ากับความเครียดประลัยและความเครียดของเหล็กเสริมรับแรงดึงทั้งหมดมีค่าตั้งแต่ความเครียดคลากไปแล้ว



รูปที่ 2.1 แสดงความสัมพันธ์ระหว่างหน่วยแรงและความเครียดของคอนกรีต



รูปที่ 2.2 แสดงความสัมพันธ์ระหว่างหน่วยแรงและความเครียดของเหล็ก

สถิติขององค์อาคาร

การสร้างสถิติผสมตรีโกฏที่รวมผลความไม่เป็นเชิงเส้นทางเรขาคณิต ทำโดยอาศัยหลักการของ ค่าสถิตินเนอร์ยีของพลังงานศักย์รวม(principle of stationary total potential energy) เริ่มต้นจาก สมการพลังงานศักย์รวม(total potential energy,  $\pi$ ) ดังนี้ (Chen and Lui, 1991)

$$\pi = U + V \tag{2.1}$$

เมื่อ  $U$  เป็นพลังงานความเครียด ( strain energy )

$$\text{ดังนั้น } U = \int_V \int_{\epsilon} \sigma \cdot d\epsilon \cdot dV = \int_0^L \int_A \int_{\epsilon} (\sigma d\epsilon) dA dx \tag{2.2}$$

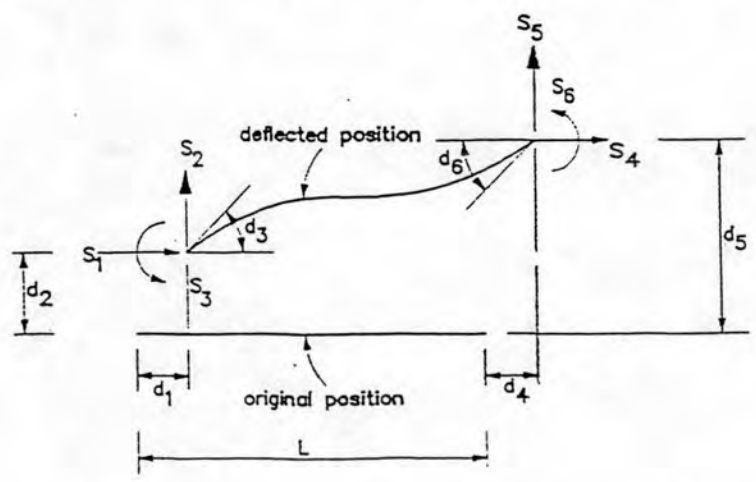
- โดยที่  $\sigma$  คือ ความเค้นในแนวแกน
- $\epsilon$  คือ ความเครียดในแนวแกน
- $V$  คือ ปริมาตรขององค์อาคาร
- $A$  คือ พื้นที่หน้าตัด
- $L$  คือ ความยาว

ขณะที่  $V$  คือ พลังงานศักย์ ( potential energy )

$$\text{ดังนั้น } V = - \sum_{i=1}^n s_i d_i = - \{d\}^T \{S\} \tag{2.3}$$

- โดยที่  $s_i$  คือ แรงกระทำที่ปลาย (element nodal force)
- $d_i$  คือ การเปลี่ยนตำแหน่งที่ปลาย (element nodal displacement)

แรงกระทำและการเปลี่ยนตำแหน่งที่ปลายขององค์อาคารแสดงในรูปที่ 2.3



รูปที่ 2.3 องค์อาคารภายใต้แรงกระทำและการเปลี่ยนตำแหน่ง

จากกฎของฮุก ( Hook's law )  $\sigma = E \varepsilon$  (2.4)

เมื่อ  $E$  เป็น อีลาสติกโมดูลัส ( Young's modulus of elastic material )

แทนสมการ(2.4) ลงในสมการ (2.2) และอินทิเกรต จะได้

$$U = \int_0^L \int_A \frac{E}{2} \varepsilon^2 dA dx \quad (2.5)$$

ในการวิเคราะห์ความไม่เชิงเส้นทางเรขาคณิต สามารถเขียนความสัมพันธ์ของความเครียด-การเปลี่ยนตำแหน่ง ( strain-displacement relationship ) ได้ดังนี้ ( Wen and Rahimzadeh, 1982 )

$$\varepsilon = \frac{du}{dx} + \frac{1}{2} \left( \frac{du}{dx} \right)^2 + \frac{1}{2} \left( \frac{dv}{dx} \right)^2 - y \frac{d^2v}{dx^2} \quad (2.6)$$

โดยที่  $u$  และ  $v$  คือ การเปลี่ยนตำแหน่งในแนวแกนและแนวตั้งฉากกับแกนขององค์อาคารตามลำดับ ที่มาของสมการ(2.6) แสดงในภาคผนวก ก. และเนื่องจากการเปลี่ยนตำแหน่งในแนวแกนมีค่าน้อย ดังนั้นสามารถละทิ้งพจน์ที่สองได้ เขียนความสัมพันธ์ใหม่ดังนี้

$$\varepsilon \cong \frac{du}{dx} + \frac{1}{2} \left( \frac{dv}{dx} \right)^2 - y \frac{d^2v}{dx^2} \quad (2.7)$$

แทน (2.7) ลงใน (2.5) และอินทิเกรตพื้นที่หน้าตัดเราจะได้

$$U = \int_0^L \frac{E}{2} \left[ A \left( \frac{du}{dx} \right)^2 + I \left( \frac{d^2v}{dx^2} \right)^2 + A \frac{du}{dx} \left( \frac{dv}{dx} \right)^2 + \frac{A}{4} \left( \frac{dv}{dx} \right)^4 \right] dx \quad (2.8)$$

โดยที่

$$I = \int_A y^2 dA$$

$$A = \int_A dA$$

$$\int_A y dA = 0$$

พจน์สุดท้ายของสมการ(2.8) มีค่าน้อยสามารถละทิ้งได้และเมื่อ

$$P = EA \frac{du}{dx} \quad (2.9)$$

ดังนั้นสมการ(2.8) สามารถเขียนได้ใหม่เป็น

$$U = \int_0^L \frac{E}{2} \left[ A \left( \frac{du}{dx} \right)^2 + I \left( \frac{d^2v}{dx^2} \right)^2 \right] dx + \int_0^L \frac{P}{2} \left( \frac{dv}{dx} \right)^2 dx \quad (2.10)$$

เพื่อที่จะสามารถสร้างสตีเฟนสมเมตริกซ์ได้ จำเป็นต้องทำการสมมติลักษณะการกระจายของค่าเปลี่ยนตำแหน่ง  $u$  และ  $v$  ก่อดังนี้

$$u = a_0 + a_1x \quad (2.11)$$

$$v = b_0 + b_1x + b_2x^2 + b_3x^3 \quad (2.12)$$

จากเงื่อนไขที่จุดต่อคือ

$$u|_{x=0} = d_1, \quad u|_{x=L} = d_4 \quad (2.13)$$

$$v|_{x=0} = d_2, \quad \left. \frac{dv}{dx} \right|_{x=0} = d_3, \quad v|_{x=L} = d_5, \quad \left. \frac{dv}{dx} \right|_{x=L} = d_6 \quad (2.14)$$

จากนั้นจึงสามารถเขียนสมการลักษณะการกระจายของค่าเปลี่ยนตำแหน่ง  $u$  และ  $v$  ให้อยู่ในรูปแบบของตัวไม่รู้ค่าที่จุดต่อได้ดังนี้

$$u(x) = \begin{bmatrix} (1 - \frac{x}{L}) & \frac{x}{L} \end{bmatrix} \begin{Bmatrix} d_1 \\ d_4 \end{Bmatrix} \quad (2.15)$$

$$v(x) = \begin{bmatrix} (1 - \frac{3x^2}{L^2} + \frac{2x^3}{L^3}) & (x - \frac{2x^2}{L} + \frac{x^3}{L^2}) & (\frac{3x^2}{L^2} - \frac{2x^3}{L^3}) & (-\frac{x^2}{L} + \frac{x^3}{L^2}) \end{bmatrix} \begin{Bmatrix} d_2 \\ d_3 \\ d_5 \\ d_6 \end{Bmatrix} \quad (2.16)$$

หรือเขียนในรูปของสัญลักษณ์เมตริกซ์ได้เป็น

$$u(x) = \{N_u\} \{d\} \quad (2.17)$$

$$v(x) = \{N_v\} \{d\} \quad (2.18)$$

โดยที่  $N_u$  และ  $N_v$  แทนฟังก์ชันรูปร่าง ( shape function )

แทนค่า (2.10) และ (2.3) ลงใน (2.1) เราจะได้

$$\pi = \frac{1}{2} \int_0^L \left( \frac{du}{dx} \right) EA \left( \frac{du}{dx} \right) dx + \frac{1}{2} \int_0^L \left( \frac{d^2v}{dx^2} \right) EI \left( \frac{d^2v}{dx^2} \right) dx + \frac{1}{2} \int_0^L P \left( \frac{dv}{dx} \right)^2 dx - \sum_{i=1}^6 s_i d_i \quad (2.19)$$

โดยที่

$$\frac{du}{dx} = \left\{ \frac{dN_u}{dx} \right\}_{1 \times 2} \{d\}_{2 \times 1} = \{d\}_{1 \times 2}^T \left\{ \frac{dN_u}{dx} \right\}_{2 \times 1}^T$$

$$\frac{dv}{dx} = \left\{ \frac{dN_v}{dx} \right\}_{1 \times 4} \{d\}_{4 \times 1} = \{d\}_{1 \times 4}^T \left\{ \frac{dN_v}{dx} \right\}_{4 \times 1}^T$$

$$\frac{d^2v}{dx^2} = \left\{ \frac{d^2N_v}{dx^2} \right\}_{1 \times 4} \{d\}_{4 \times 1} = \{d\}_{1 \times 4}^T \left\{ \frac{d^2N_v}{dx^2} \right\}_{4 \times 1}^T$$

ดังนั้น

$$\begin{aligned} \pi = & \frac{1}{2} \int_0^L \{d\}^T \left\{ \frac{dN_u}{dx} \right\}^T EA \left\{ \frac{dN_u}{dx} \right\} \{d\} dx + \frac{1}{2} \int_0^L \{d\}^T \left\{ \frac{d^2 N_v}{dx^2} \right\}^T EI \left\{ \frac{d^2 N_v}{dx^2} \right\} \{d\} dx \\ & + \frac{1}{2} \int_0^L \{d\}^T \left\{ \frac{dN_v}{dx} \right\}^T P \left\{ \frac{dN_v}{dx} \right\} \{d\} dx - \{d\}^T \{S\} \end{aligned} \quad (2.20)$$

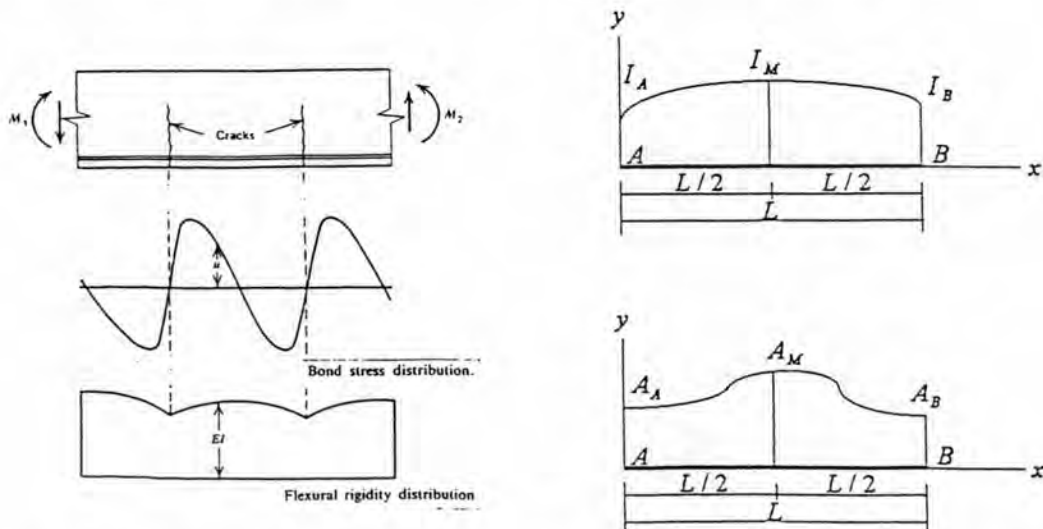
จากหลักการของค่าสถิตินเนอร์จี้ของพลังงานศักย์รวม ( principle of stationary total potential energy ) สภาวะสมดุลเกิดขึ้นเมื่อ การแปรเปลี่ยนอันดับแรกของ พลังงานศักย์รวมเมื่อเทียบกับการเปลี่ยนแปลงรูปและการเปลี่ยนตำแหน่ง ( deformation and displacement ) มีค่าเท่ากับศูนย์ ( Norris, Wilbur and Utko, 1991)

$$\delta_d \pi = 0 \quad (2.21)$$

นั่นคือ

$$\begin{aligned} \int_0^L \left\{ \frac{dN_u}{dx} \right\}^T EA \left\{ \frac{dN_u}{dx} \right\} \{d\} dx + \int_0^L \left\{ \frac{d^2 N_v}{dx^2} \right\}^T EI \left\{ \frac{d^2 N_v}{dx^2} \right\} \{d\} dx \\ + \int_0^L \left\{ \frac{dN_v}{dx} \right\}^T P \left\{ \frac{dN_v}{dx} \right\} \{d\} dx - \{S\} = 0 \end{aligned} \quad (2.22)$$

จากสมมติฐานที่ว่าเมื่อหน้าตัดเกิดการแตกร้าว สถิตินเนอร์จี้ของการดัดจะแปรเปลี่ยนแบบพาราโบลาตลอดความยาวขององค์อาคาร ( Pulmano and Shin, 1987) เพราะหน่วยแรงดัดซึ่งเกิดขึ้นบนหน้าตัดที่แตกร้าวมีเหล็กเสริมเป็นวัสดุรับแรงและถ่ายเทแรงสู่คอนกรีตในรูปของแรงยึดเหนี่ยว (bond stress) ซึ่งแปรตามระยะฝัง (embedment length) (Park and Paulay, 1975) ดังรูปที่ 2.4



รูปที่ 2.4 การแปรเปลี่ยนสถิตินเนอร์จี้ของการดัดขององค์อาคารเมื่อหน้าตัดเกิดการแตกร้าว

สมการของสติฟเนสของการดัดที่แปรเปลี่ยนแบบพาราโบลา ( $EI_c$ ) เขียนได้เป็น

$$EI_c = \beta_1 + \beta_2 x + \beta_3 x^2 \quad (2.23)$$

โดยที่  $\beta_1, \beta_2, \beta_3$  เป็นค่าคงตัวสามารถหาได้จากสภาพเงื่อนไข ดังนี้

$$EI_{x=0} = EI_A \quad (\text{สติฟเนสของการดัดที่จุดเริ่มขององค์อาคาร})$$

$$EI_{x=L/2} = EI_M \quad (\text{สติฟเนสของการดัดที่จุดกึ่งกลางขององค์อาคาร})$$

$$EI_{x=L} = EI_B \quad (\text{สติฟเนสของการดัดที่จุดปลายขององค์อาคาร})$$

จากเงื่อนไขดังกล่าวสมการ(2.23) เขียนได้เป็น

$$EI_c(x) = EI_A + (-3EI_A + 4EI_M - EI_B) \frac{x}{L} + 2(EI_A - 2EI_M + EI_B) \left(\frac{x}{L}\right)^2 \quad (2.24)$$

โดยที่  $x$  คือระยะใดๆจากจุดเริ่มต้นขององค์อาคาร

$L$  คือความยาวขององค์อาคาร

สำหรับสติฟเนสของแรงในแนวแกนเมื่อหน้าตัดเกิดการแตกร้าว ( $EA_c$ ) มีสมมุติฐานให้มีการแปรเปลี่ยนแบบไม่เป็นเชิงเส้น โดยให้

$$EA_{x=0} = EA_A \quad (\text{สติฟเนสของแรงในแนวแกนที่จุดเริ่มขององค์อาคาร})$$

$$EA_{x=L/2} = EA_M \quad (\text{สติฟเนสของแรงในแนวแกนที่จุดกึ่งกลางขององค์อาคาร})$$

$$EA_{x=L} = EA_B \quad (\text{สติฟเนสของแรงในแนวแกนที่จุดปลายขององค์อาคาร})$$

เขียนสมการ(2.22)ใหม่ตามสมมุติฐานการแปรเปลี่ยนของ สติฟเนสของการดัด และ สติฟเนสของแรงในแนวแกน ดังนี้

$$\int_0^L \left\{ \frac{dN_u}{dx} \right\}^T EA_c \left\{ \frac{dN_u}{dx} \right\} \{d\} dx + \int_0^L \left\{ \frac{d^2 N_v}{dx^2} \right\}^T EI_c \left\{ \frac{d^2 N_v}{dx^2} \right\} \{d\} dx + \int_0^L \left\{ \frac{dN_v}{dx} \right\}^T P \left\{ \frac{dN_v}{dx} \right\} \{d\} dx - \{S\} = 0 \quad (2.25)$$

แทนสติฟเนสของการดัดตามสมการ(2.24)ในสมการ(2.25) และสำหรับสติฟเนสของแรงในแนวแกนเมื่อใช้อินทิเกรตเชิงเลข(numerical integration) โดยกฎของซิมป์สัน(Simpson's rule) จะมีค่าตามสมการนี้

$$\int_0^L EA_c(x) dx = \frac{E}{6} [A_A + 4A_M + A_B] \quad (2.26)$$

สติฟเนสเมตริกซ์ที่ได้จากสมการ(2.25) เขียนในรูปของสัญลักษณ์เมตริกซ์เป็น

$$\left( \{k_m\} + \{k_g\} \right) \{d\} = \{S\} \quad (2.27)$$

โดยที่  $\{k_m\}$  เรียกว่า สติฟเนสเมตริกซ์เชิงเส้นดัดแปลง(modified linear stiffness matrix)

$$\{k_m\} = \int_0^L \left\{ \frac{dN_u}{dx} \right\}^T EA_c \left\{ \frac{dN_u}{dx} \right\} dx + \int_0^L \left\{ \frac{d^2 N_v}{dx^2} \right\}^T EI_c \left\{ \frac{d^2 N_v}{dx^2} \right\} dx \quad (2.28)$$

สามารถเขียนสติฟเนสเมตริกซ์เชิงเส้นดัดแปลงที่สัมพันธ์กับการเปลี่ยนตำแหน่งที่ปลาย

$$\{d\} = [d_1 \ d_2 \ d_3 \ d_4 \ d_5 \ d_6]^T \text{ ดังนี้}$$

$$\{k_m\} = \begin{bmatrix} a & h & h & -a & h & h \\ & b & c & h & -b & e \\ & & d & h & -c & f \\ & & & a & h & h \\ & SYM. & & & b & -e \\ & & & & & g \end{bmatrix} \quad (2.29)$$

ที่มาของสมการ(2.29)แสดงในภาคผนวก ข.

ค่าคงที่  $a, b, c, d, e, f, g$  และ  $h$  สำหรับองค์อาคารมีค่าดังนี้

$$\begin{aligned} a &= \bar{EA} / L \\ b &= E(12\bar{I}_1 / L^3 + 6\bar{I}_2 / L^2 + 24\bar{I}_3 / 5L) \\ c &= E(6\bar{I}_1 / L^2 + 2\bar{I}_2 / L + 7\bar{I}_3 / 5) \\ d &= E(4\bar{I}_1 / L + \bar{I}_2 + 8\bar{I}_3 L / 15) \\ e &= E(6\bar{I}_1 / L^2 + 4\bar{I}_2 / L + 17\bar{I}_3 / 5) \\ f &= E(2\bar{I}_1 / L + \bar{I}_2 + 13\bar{I}_3 L / 15) \\ g &= E(4\bar{I}_1 / L + 3\bar{I}_2 + 38\bar{I}_3 L / 15) \\ h &= 0 \end{aligned} \quad (2.30)$$

$$\text{โดยที่} \quad \bar{A} = \frac{1}{6} [A_A + 4A_M + A_B]$$

$$\bar{I}_1 = I_A$$

$$\bar{I}_2 = (1/L) [-3I_A + 4I_M - I_B]$$

$$\bar{I}_3 = (2/L^2) [I_A - 2I_M + I_B]$$

(2.31)



เมื่อ  $A_A, A_M, A_B$  และ  $I_A, I_M, I_B$  ในสมการ(2.31) เป็นพื้นที่หน้าตัดและโมเมนต์ของความเฉื่อยที่ตำแหน่งเริ่ม, กึ่งกลางและปลายขององค์อาคารตามลำดับ ซึ่งหาได้จากการปรับปรุงสถิติเนสจากวิธี central difference ในการวิเคราะห์หน้าตัดเมื่อนำตัดแตกแล้ว ก่อนหน้าตัดแตกแล้วพื้นที่หน้าตัดและโมเมนต์ของความเฉื่อยได้จากคุณสมบัติของหน้าตัดแปลง(transformed section) ซึ่งทุกตำแหน่งขององค์อาคารมีค่าพื้นที่หน้าตัดและโมเมนต์ของความเฉื่อยเท่ากัน ทำให้ในสมการ(2.31)  $\bar{A}$  เป็นพื้นที่หน้าตัดแปลงตามปกติ,  $\bar{I}_2, \bar{I}_3$  มีค่าเป็นศูนย์และ  $\bar{I}_1$  เป็นโมเมนต์ของความเฉื่อยจากหน้าตัดแปลง รวมแล้วทำให้สมการ(2.29) กลับเป็นสถิติเนสเมตริกซ์เชิงเส้น

สำหรับ  $\{k_g\}$  คือสถิติเนสเมตริกซ์ไม่เป็นเชิงเส้นทางเรขาคณิต(geometric stiffness matrix)

$$\{k_g\} = \int_0^L \left\{ \frac{dN_v}{dx} \right\}^T P \left\{ \frac{dN_v}{dx} \right\} dx \quad (2.32)$$

เขียนสถิติเนสเมตริกซ์ไม่เป็นเชิงเส้นทางเรขาคณิตที่สัมพันธ์กับการเปลี่ยนตำแหน่งที่ปลาย

$$\{d\} = [d_1 \ d_2 \ d_3 \ d_4 \ d_5 \ d_6]^T \quad \text{ดังนี้}$$

$$\{k_g\} = \frac{P}{30L} \begin{bmatrix} 0 & 0 & 0 & 0 & 0 & 0 \\ & 36 & 3L & 0 & -36 & 3L \\ & & 4L^2 & 0 & -3L & -L^2 \\ & & & 0 & 0 & 0 \\ & SYM. & & & 36 & -3L \\ & & & & & 4L^2 \end{bmatrix} \quad (2.33)$$

โดย  $P$  มีค่าเป็นบวกเมื่อเป็นแรงดึง ที่มาของสมการ(2.33)แสดงในภาคผนวก ข.

เมื่อรวมผลของสถิติเนสเชิงเส้นตัดแปลงเข้ากับสถิติเนสเมตริกซ์ไม่เป็นเชิงเส้นทางเรขาคณิตเขียนในรูปสัญลักษณ์เมตริกซ์ ดังนี้

$$\{k_t\} = \{k_m\} + \{k_g\} \quad (2.34)$$

เมื่อเขียนสถิติเนสเมตริกซ์ขององค์อาคารที่สัมพันธ์กับการเปลี่ยนตำแหน่งที่ปลาย

$$\{d\} = [d_1 \ d_2 \ d_3 \ d_4 \ d_5 \ d_6]^T \quad \text{ได้ดังนี้}$$

$$\{k_t\} \{d\} = \{S\} \quad (2.35)$$

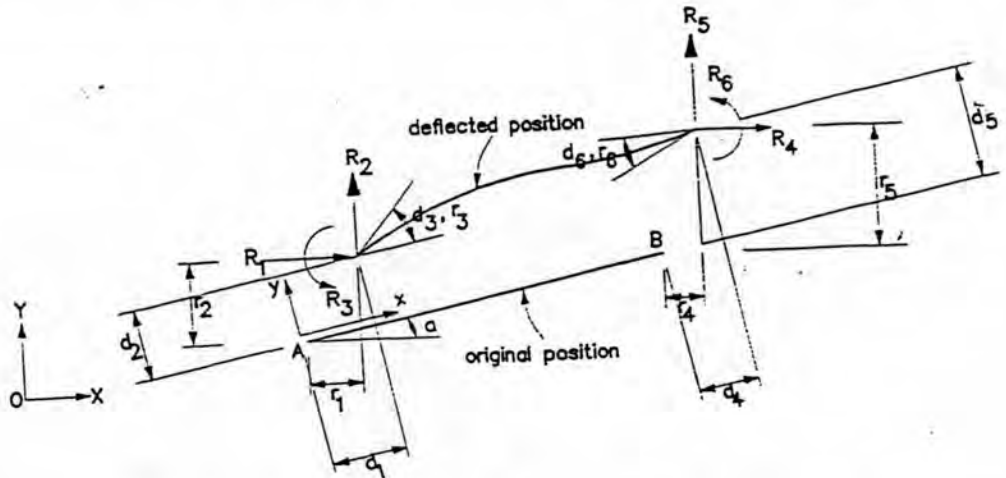
โดยที่  $\{k_t\}$  เป็นสถิติเนสเมตริกซ์ขององค์อาคารในระบบพิกัดเฉพาะ

$\{d\}$  เป็นเวกเตอร์ของการเปลี่ยนตำแหน่งในระบบพิกัดเฉพาะ

$\{S\}$  เป็นเวกเตอร์ของแรงกระทำในระบบพิกัดเฉพาะ

การรวมสตีเฟนส์

ในกรณีที่องค์อาคารไม่ได้วางอยู่ในระบบพิกัดหลัก( global coordinate) จำเป็นต้องมีการหมุนเพื่อเปลี่ยนตำแหน่งและแรงกระทำที่กำหนดอยู่ในระบบพิกัดเฉพาะ( local coordinate ) ให้อยู่ในระบบพิกัดหลักก่อน พิจารณาองค์อาคารซึ่งไม่ได้วางอยู่ในระบบพิกัดหลัก ดังรูปที่ 2.5



รูปที่ 2.5 องค์อาคารวางในระบบพิกัดหลัก( Chen and Lui,1991)

จากรูปพิกัดหลักเป็น XY และมีโคออดิเนตประจำตัวเป็น xy ถ้าพิจารณาการเปลี่ยนตำแหน่งของจุด A ความสัมพันธ์ของการเปลี่ยนตำแหน่งในระบบพิกัดหลักกับพิกัดเฉพาะเป็น

$$\begin{Bmatrix} d_1 \\ d_2 \\ d_3 \end{Bmatrix} = \begin{bmatrix} \cos \alpha & \sin \alpha & 0 \\ -\sin \alpha & \cos \alpha & 0 \\ 0 & 0 & 1 \end{bmatrix} \begin{Bmatrix} r_1 \\ r_2 \\ r_3 \end{Bmatrix} \tag{2.36}$$

เมื่อ

- {d} เป็นเวกเตอร์ของการเปลี่ยนตำแหน่งในระบบพิกัดเฉพาะ
  - {r} เป็นเวกเตอร์ของการเปลี่ยนตำแหน่งในระบบพิกัดหลัก
  - $\alpha$  เป็นมุมระหว่างแกนขององค์อาคารกับแกนแนวราบของระบบพิกัดหลัก
- หรือเขียนในรูปของเมตริกซ์ได้เป็น

$$\{d\} = \{a\}\{r\} \tag{2.37}$$

โดย {a} คือเมตริกซ์แปลงการเปลี่ยนตำแหน่ง(displacement transformation matrix)

และมีคุณสมบัติเป็น orthogonal matrix คือให้  $\{a\}^{-1} = \{a\}^T$  ดังนั้น

$$\{r\} = \{a\}^T \{d\} \tag{2.38}$$

สมการ(2.37)เป็นความสัมพันธ์ของการเปลี่ยนตำแหน่งในระบบพิกัดเฉพาะกับการเปลี่ยนตำแหน่งในระบบพิกัดหลัก จะหาความสัมพันธ์ของแรงกระทำในระบบพิกัดเฉพาะกับแรงกระทำในระบบพิกัดหลักได้ในทำนองเดียวกัน คือ

$$\{R\} = \{a\}^T \{S\} \quad (2.39)$$

เมื่อ  $\{S\}$  เป็นเวกเตอร์ของแรงในระบบพิกัดเฉพาะ

$\{R\}$  เป็นเวกเตอร์ของแรงในระบบพิกัดหลัก

ดังนั้นจะหาความสัมพันธ์ของแรงกระทำกับการเปลี่ยนตำแหน่งในระบบพิกัดหลักได้เป็น

$$\{R\} = \{a\}^T \{k_i\} \{a\} \{r\} \quad \text{หรือ} \quad \{R\} = [K_g]^T \{r\} \quad (2.40)$$

เมื่อ  $[K_g]^T$  เป็น สติเฟเนสเมตริกซ์ขององค์อาคารในระบบพิกัดหลัก

ถ้าพิจารณาองค์อาคารทั้งหมด  $n$  ชั้นส่วนในโครงสร้างจะได้

$$\{R\} = \left[ \sum_{i=1}^n [K_g]^T \right] \{r\}$$

$$\text{ให้} \quad [K] = \left[ \sum_{i=1}^n [K_g]^T \right]$$

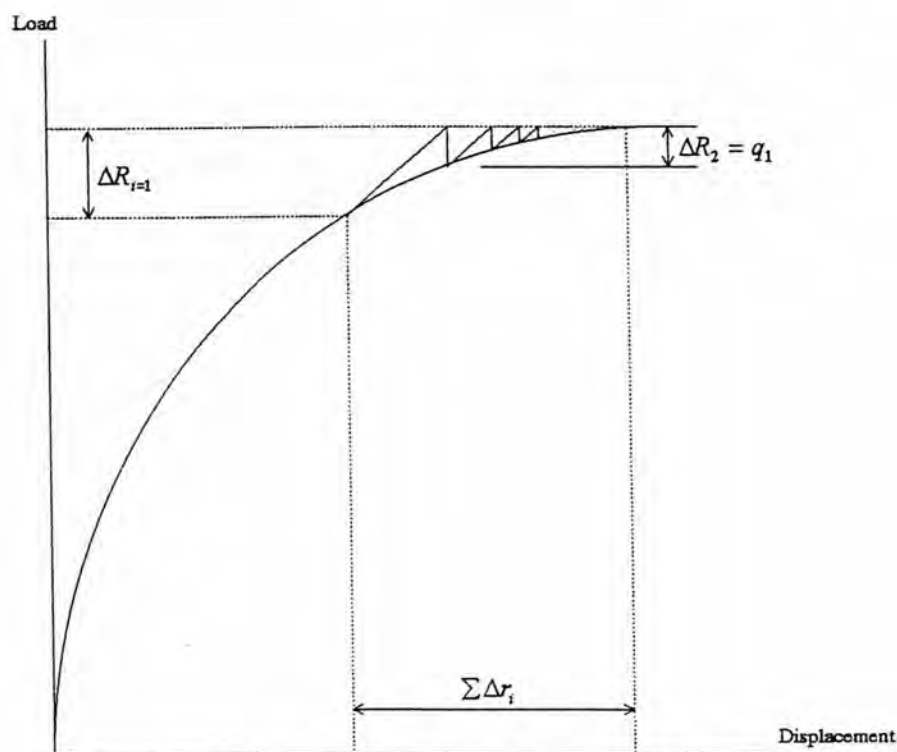
เมื่อ  $[K]$  เป็น สติเฟเนสเมตริกซ์ของโครงสร้าง จะได้

$$\{R\} = [K] \{r\} \quad (2.41)$$

เมตริกซ์  $[K]$  ในสมการ(2.41) จะเป็นซิงกูลาร์(singular matrix)เนื่องจากการเคลื่อนที่แบบวัตถุแข็ง( rigid body motion )อยู่จำเป็นต้องใส่เงื่อนไขขอบเขต( boundary conditions )ให้เพียงพอที่จะไม่เกิดการเคลื่อนที่แบบวัตถุแข็ง จะได้เป็นเมตริกซ์นอนซิงกูลาร์( nonsingular matrix ) ซึ่งสามารถแก้สมการได้โดยการกำจัดแบบเกอซ์ ( Gauss elimination )

การวิเคราะห์ความไม่เชิงเส้นทางเรขาคณิตโดยวิธี นิวตัน - ราฟสัน (Newton-Raphson method)

วิธีนิวตัน-ราฟสัน เป็นวิธีในการหาคำตอบของการวิเคราะห์ความไม่เชิงเส้นทางเรขาคณิตของโครงสร้างด้วยลักษณะการวิเคราะห์โดย การเพิ่มน้ำหนักบรรทุก ( load control method ) แต่ละขั้นของการเพิ่มน้ำหนักบรรทุก( incremental load ) ต้องทำการหาผลต่างของแรงภายนอก และแรงภายในที่เรียกว่า แรงคงค้าง ( unbalanced force ) แรงคงค้างนี้คือค่าผิดพลาดจากความ เบี่ยงเบน ( drift-off error ) อันเกิดจากการใช้วิธีเชิงเส้นตามสมการ(2.41)ในการวิเคราะห์ปัญหาที่ ไม่เป็นเชิงเส้น ดังนั้นเพื่อปรับแก้ความไม่เชิงเส้นนี้จะกระทำโดยพยายามกำจัดแรงคงค้างให้ หมดไปหรือเหลือน้อยที่สุดคือ ใช้แรงคงค้างนี้แทนน้ำหนักบรรทุกที่เพิ่มในการวิเคราะห์รอบถัด ไปโดยการกระทำซ้ำ( iterative )เช่นนี้จนแรงคงค้างเหลือน้อยจนอยู่ในเกณฑ์ที่ยอมรับได้จึงถือว่าเป็น คำตอบ ดูรูปที่2.6 ประกอบ



รูปที่2.6 การวิเคราะห์อันดับที่สองโดยวิธีนิวตัน-ราฟสัน

สำหรับแรงภายนอก( external force )ซึ่งต้องนำมาหาแรงคงค้างคือ แรงจากการเพิ่มน้ำหนักบรรทุก( incremental load )ในรอบการคำนวณนั้น และแรงภายใน( internal force )คือแรงที่คำนวณจากค่าการเปลี่ยนตำแหน่งในรอบการคำนวณนั้น ซึ่งพิจารณาจากองค์อาคารในระบบ พิกัดหลักสู่ระบบพิกัดเฉพาะ สามารถอธิบายโดยสมการได้ดังนี้

น้ำหนักบรรทุกที่เพิ่มตามขั้นตอนการวิเคราะห์  $\{\Delta R_{i+1}\}$  ( incremental load )

$$\text{จากสมการ(2.41)} \quad \{\Delta r_i\} = [K]^{-1} \{\Delta R_i\} \quad (2.42)$$

$$\text{จากสมการ(2.37)} \quad \{\Delta d_i\} = \{a\} \{\Delta r_i\} \quad (2.43)$$

$$\text{จากสมการ(2.35)} \quad \{\Delta S_i\} = \{k_i\} \{a\} \{\Delta r_i\} \quad (2.44)$$

$$\text{ได้เวกเตอร์ของแรงคงค้าง} \quad \{q_i\} = \{a\}^T \{\Delta R_i\} - \{\Delta S_i\} \quad (2.45)$$

$$\{\Delta R_{i+1}\} = \{a\}^T \{q_i\} \quad (2.46)$$

ในสมการ(2.45)  $\{\Delta R_i\}$  เป็นเวกเตอร์ของแรงภายนอก

$\{\Delta S_i\}$  เป็นเวกเตอร์ของแรงภายใน

$i$  ใช้ระบุรอบของการคำนวณ

ในสมการ(2.46)  $\{\Delta R_{i+1}\}$  เป็นเวกเตอร์ของน้ำหนักบรรทุกที่จะเพิ่มในรอบถัดไป

ด้วยวิธีการดังกล่าวเงื่อนไขการลู่เข้าหาค่าตอบมีดังนี้

$$\|e\| = \sqrt{\sum_{i=1}^n q_i} \quad (2.47)$$

$$\|e\| \leq \frac{0.1}{100} \|\Delta R\| \quad (2.48)$$

โดยที่

$\|e\|$  คือยูคลิเดียนนอร์มของเวกเตอร์ของแรงคงค้าง

$\|\Delta R\|$  คือยูคลิเดียนนอร์มของเวกเตอร์ของน้ำหนักบรรทุกที่เพิ่ม

$q_i$  คือสมาชิกของเวกเตอร์ของแรงคงค้างในระบบพิกัดหลัก

$n$  คือจำนวนดีกรีของความอิสระ

## การวิเคราะห์ความไม่เป็นเชิงเส้นทางวัสดุโดยวิธีวิเคราะห์หน้าตัด

เมื่อเสร็จการวิเคราะห์โครงสร้างในแต่ละรอบของการเพิ่มแรงกระทำ (load increment) นำค่าโมเมนต์ดัดและแรงในแนวแกนจากทุกหน้าตัดของชิ้นส่วนโครงสร้างที่แบ่งย่อย (discretized element) มาทำการวิเคราะห์ความไม่เป็นเชิงเส้นทางวัสดุ ตามขั้นตอนดังนี้ จากรูปที่ 2.7 และแผนภูมิแสดงขั้นตอนในรูปที่ 2.8 ประกอบ

1. เริ่มต้นโดยลองเพิ่มค่าความเครียดที่ผิวบนสุดของหน้าตัดด้านรับแรงอัด ( $\epsilon_c$ ) จากนั้นลองเปลี่ยนระยะจากผิวบนสุดถึงแกนสะเทิน ( $kd$ ) ทีละชั้น เพื่อสมมุติการกระจายความเครียดเนื่องจากโมเมนต์ดัดและแรงในแนวแกน และหาแรงภายในซึ่งเกิดจากการสมมุติการกระจายความเครียดในแต่ละชั้นนี้จนผลรวมแรงของหน้าตัดอยู่ในภาวะสมดุล แรงภายในของหน้าตัดได้แก่

### 1.1 แรงภายในจากคอนกรีตมีดังนี้

#### 1.1.1 หน่วยแรงอัดและแรงอัดของคอนกรีต

$$\begin{aligned} \text{หน่วยแรงอัด } f_c &= f'_c \left[ \frac{2\epsilon}{\epsilon_0} - \left( \frac{\epsilon}{\epsilon_0} \right)^2 \right] & 0 \leq \epsilon \leq 0.0020 \\ f_c &= f'_c & 0.0020 \leq \epsilon \leq 0.0030 \end{aligned}$$

$$\text{โดยที่ } \epsilon_0 = 0.0020 \quad (2.49)$$

ความสัมพันธ์ระหว่างหน่วยแรงและความเครียดของคอนกรีตเป็นแบบที่คิดผลของเหล็กปลอกรัตรอบแบบสี่เหลี่ยมผืนผ้า (rectangular hoops) เสนอโดย Baker and Amarokone, 1964 แสดงในรูปที่ 2.1 สำหรับคอนกรีตที่มี  $f'_c \leq 500 \text{ ksc}$ . และแรงอัดของคอนกรีต ( $C_c$ ) มีสมการดังนี้

$$C_c = \frac{b \cdot kd}{\epsilon_c} \int_0^{\epsilon_c} f_c \cdot d\epsilon \quad (2.50)$$

โดยที่  $b$  คือ ความกว้างของหน้าตัดสี่เหลี่ยมผืนผ้า

แทนค่าหน่วยแรงอัดจากสมการ(2.49) ใน (2.50) สามารถเขียนเป็นสมการของแรงอัดของคอนกรีต ดังนี้

$$C_c = \frac{b \cdot f'_c \cdot \epsilon_c \cdot kd}{\epsilon_0} \left[ 1 - \frac{\epsilon_c}{3\epsilon_0} \right] \quad 0 \leq \epsilon_c \leq 0.0020$$

$$C_c = \frac{b \cdot f'_c (0.0020)^2}{\epsilon_0 \cdot \phi} \left[ 1 - \frac{0.0020}{3\epsilon_0} \right] + b \cdot f'_c \frac{(\epsilon_c - 0.0020)}{\phi} \quad 0.0020 \leq \epsilon_c \leq 0.0030$$

$$\text{โดยที่ } \phi = \frac{\epsilon_c}{kd} \text{ (curvature)} \quad (2.51)$$

### 1.1.2 หน่วยแรงดึงและแรงดึงของคอนกรีต

$$\text{หน่วยแรงดึง } f_c = E_c \cdot \epsilon_t \quad \epsilon_r \leq \epsilon_t \leq 0 \quad (2.52)$$

โดยที่  $\epsilon_t$  คือ ความเครียดที่ผิวรับแรงดึงของคอนกรีต

จากสมมติฐานที่กำหนดให้ค่าโมดูลัสยืดหยุ่นของหน่วยแรงดึงเท่ากับหน่วยแรงอัด และให้คอนกรีตสามารถรับแรงดึงได้ไม่เกินหน่วยแรงดึงที่ยอมให้ตาม ACI Committee 318 ซึ่งมีค่าเท่ากับ  $f_r = 198\sqrt{f'_c} \text{ ksc}$ .

ดังนั้นความเครียดสูงสุดที่ยอมให้ของคอนกรีตเนื่องจากแรงดึงมีค่าเท่ากับ  $\epsilon_r = -\frac{f_r}{E_c}$

จากหน่วยแรงดึงข้างต้นสามารถเขียนเป็นสมการของแรงดึง ( $C_t$ ) ของคอนกรีต ดังนี้

$$C_t = -\frac{b \cdot E_c \cdot \epsilon_t^2}{2\phi} \quad \epsilon_r \leq \epsilon_t \leq 0$$

$$= 0 \quad \epsilon_t \leq \epsilon_r \quad (2.53)$$

## 1.2 แรงภายในจากเหล็กเสริม

ความสัมพันธ์ระหว่างแรงและความเครียดของเหล็กเสริมเป็นแบบอีลาสติก-พลาสติกสมบูรณ์ กำหนดให้

### 1.2.1 หน่วยแรงอัดและแรงอัดของเหล็กเสริม

$$\begin{aligned} \text{หน่วยแรงอัด } f_s &= E_s \cdot \varepsilon_s & 0 \leq \varepsilon_s \leq \varepsilon_y \\ f_s &= f_y & \varepsilon_s \geq \varepsilon_y \end{aligned} \quad (2.54)$$

จากหน่วยแรงข้างต้นสามารถเขียนเป็นสมการของแรงอัดของเหล็กเสริม( $S_c$ ) ดังนี้

$$\begin{aligned} S_c &= A_{sc} \cdot E_s \cdot \varepsilon_s & 0 \leq \varepsilon_s \leq \varepsilon_y \\ S_c &= A_{sc} \cdot f_y & \varepsilon_s \geq \varepsilon_y \end{aligned} \quad (2.55)$$

โดยที่  $\varepsilon_s$  คือ ความเครียดของเหล็กเสริม

$\varepsilon_y$  คือ ความเครียดคดของเหล็กเสริม

$A_{sc}$  คือ พื้นที่หน้าตัดของเหล็กเสริมรับแรงอัด

### 2.2.2 หน่วยแรงดึงและแรงดึงของเหล็กเสริม

$$\begin{aligned} \text{หน่วยแรงดึง } f_s &= -E_s \cdot \varepsilon_s & -\varepsilon_y \leq \varepsilon_s \leq 0 \\ f_s &= -f_y & -\varepsilon_y \geq \varepsilon_s \end{aligned} \quad (2.56)$$

จากหน่วยแรงข้างต้นสามารถเขียนเป็นสมการของแรงดึงของเหล็กเสริม( $S_t$ ) ดังนี้

$$\begin{aligned} S_t &= A_{st} \cdot E_s \cdot \varepsilon_s & -\varepsilon_y \leq \varepsilon_s \leq 0 \\ S_t &= A_{st} \cdot f_y & -\varepsilon_y \geq \varepsilon_s \end{aligned} \quad (2.57)$$

$A_{st}$  คือ พื้นที่หน้าตัดของเหล็กเสริมรับแรงดึง



สมการสมดุลของแรงภายในเนื่องจากวัสดุและแรงในแนวแกน มีดังนี้

$$C_c + C_t + S_c + S_t + P = 0 \quad (2.58)$$

คำนวณโมเมนต์ตัดจากแรงภายในที่สมดุล ที่ตำแหน่งกึ่งกลางความลึกของหน้าตัดตามสมมุติฐานว่าแรงในแนวแกนบนหน้าตัดกระทำผ่านตำแหน่งกึ่งกลางความลึกของหน้าตัด ซึ่งในงานวิจัยนี้มีขอบเขตการพิจารณาเฉพาะ หน้าตัดที่มีเหล็กเสริมรับแรงดึงและแรงอัดสมมาตรกันเท่านั้น โมเมนต์ตัดที่คำนวณได้จะนำไปเปรียบเทียบกับโมเมนต์ตัดที่ได้จากการวิเคราะห์โครงสร้างโดยมีสมการดังนี้

$$M = C_c \cdot [(t/2 - kd) + x] + C_t \cdot [x_t - (t/2 - kd)] + S_c(t/2 - d') + S_t(d - t/2) \\ 0 \leq \varepsilon_c \leq 0.0020$$

$$M = C_{c1} \cdot [(t/2 - kd) + x_{c1}] + C_{c2} \cdot [(t/2 - kd) + x_{c2}] + C_t \cdot [x_t - (t/2 - kd)] \\ + S_c(t/2 - d') + S_t(d - t/2) \\ 0.0020 \leq \varepsilon_c \leq 0.0030 \quad (2.59)$$

โดยที่  $t$  คือ ค่าความลึกของหน้าตัด

$d'$  คือ ระยะจากผิวบนสุดด้านรับแรงอัดถึงระดับของเหล็กเสริมรับแรงอัด

$d$  คือ ระยะจากผิวบนสุดด้านรับแรงอัดถึงระดับของเหล็กเสริมรับแรงดึง

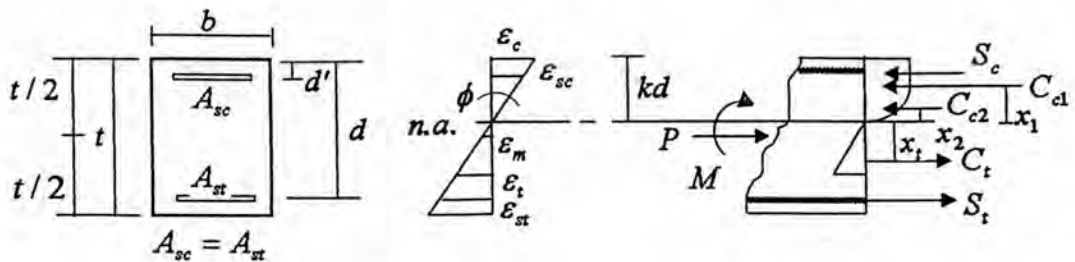
$x$  คือ ระยะจากแนวแกนสะเทินถึงศูนย์กลางของแนวแรงคอนกรีต มีสมการดังนี้

$$x = x_1 = kd \left[ \frac{8\varepsilon_0 + 3\phi(kd)}{12\varepsilon_0 - 4\phi(kd)} \right] \quad 0 \leq \varepsilon_c \leq 0.0020$$

$$x_2 = \frac{1}{2} \left[ kd + \frac{0.0020}{\phi} \right] \quad 0.0020 \leq \varepsilon_c \leq 0.0030$$

$$x_t = \frac{2\varepsilon_r}{3\phi} \quad (2.60)$$

ถ้าโมเมนต์จากการคำนวณนี้มีค่าต่างจากโมเมนต์ที่ได้จากการวิเคราะห์หรืออยู่ในเกณฑ์ที่ยอมรับได้ให้ทำในขั้นต่อไป ถ้าไม่ได้ต้องเริ่มขั้นตอนใหม่โดยปรับค่าความเครียดที่ผิวบนสุดใหม่



รูปที่ 2.7 แสดงการกระจายความเครียด-การกระจายหน่วยแรงของหน้าตัดคอนกรีตเสริมเหล็ก

2. ปรับปรุงสติฟเนสหลังจากหน้าตัดเกิดการแตกร้าว เมื่อหน่วยแรงบนหน้าตัดมีค่าเกินหน่วยแรงดึงที่ยอมให้ของคอนกรีต ทำให้หน้าตัดเกิดการแตกร้าวซึ่งเป็นผลให้เกิดการเปลี่ยนแปลงสติฟเนส โดยอาศัยหลักการของ central difference คำนวณค่าสติฟเนสสัมผัส (tangent stiffness modulus) เนื่องจากแรงในแนวแกน และ โมเมนต์ดัด ตามลำดับดังนี้

$$EA = \Delta P / \Delta \epsilon = (P_2 - P_1) / \Delta \epsilon$$

$$EI = \Delta M / \Delta \phi = (M_2 - M_1) / \Delta \phi \quad (2.61)$$

โดยที่  $P_1$  และ  $P_2$  คือ แรงในแนวแกนที่สอดคล้องกับความเครียด  $[\epsilon_m - (1/2)\Delta\epsilon]$

และ  $[\epsilon_m + (1/2)\Delta\epsilon]$

$\epsilon_m$  คือ ความเครียดเนื่องจากแรงในแนวแกนที่ตำแหน่งกึ่งกลางความลึก

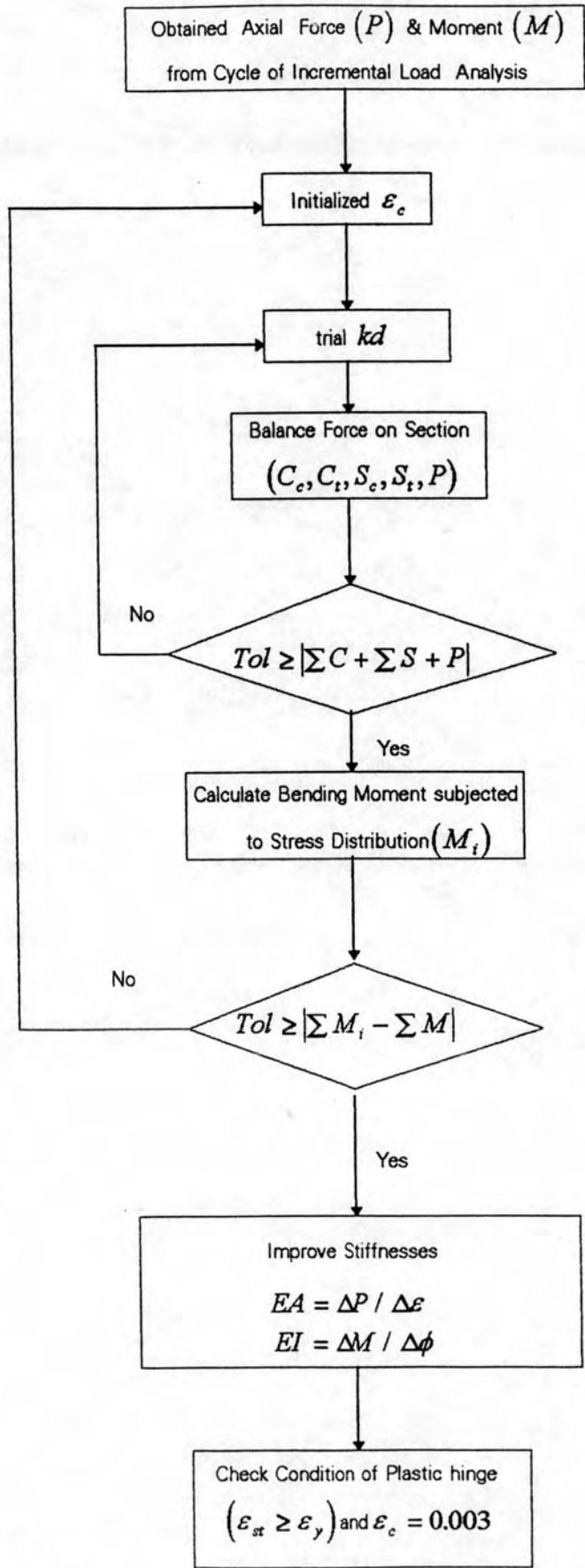
$\Delta\epsilon$  คือ ผลต่างของความเครียดโดยกำหนดให้มีค่าน้อยๆ เช่น  $1 \times 10^{-6}$

$M_1$  และ  $M_2$  คือ โมเมนต์ดัดที่สอดคล้องกับค่าความโค้ง  $[\phi - (1/2)\Delta\phi]$

และ  $[\phi + (1/2)\Delta\phi]$  ขณะที่ แรงในแนวแกน มีค่าคงที่

$\phi$  คือ ค่าความโค้งเนื่องจากโมเมนต์ดัด

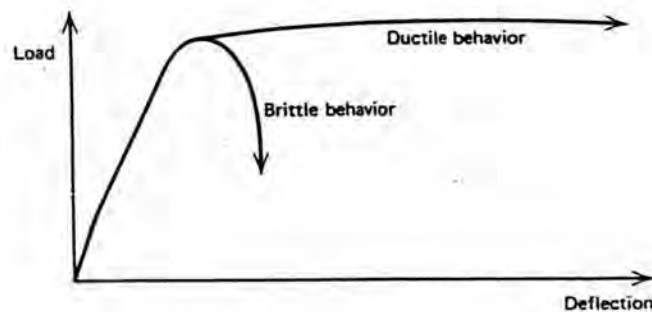
$\Delta\phi$  คือ ผลต่างของค่าความโค้งโดยกำหนดให้มีค่าน้อยๆ เช่น  $1 \times 10^{-6}$



รูปที่ 2.8 แผนภูมิแสดงขั้นตอนการวิเคราะห์ความไม่เป็นเชิงเส้นทางวัสดุโดยวิธีวิเคราะห์หน้าตัด

### การเกิดจุดหมุนพลาสติก

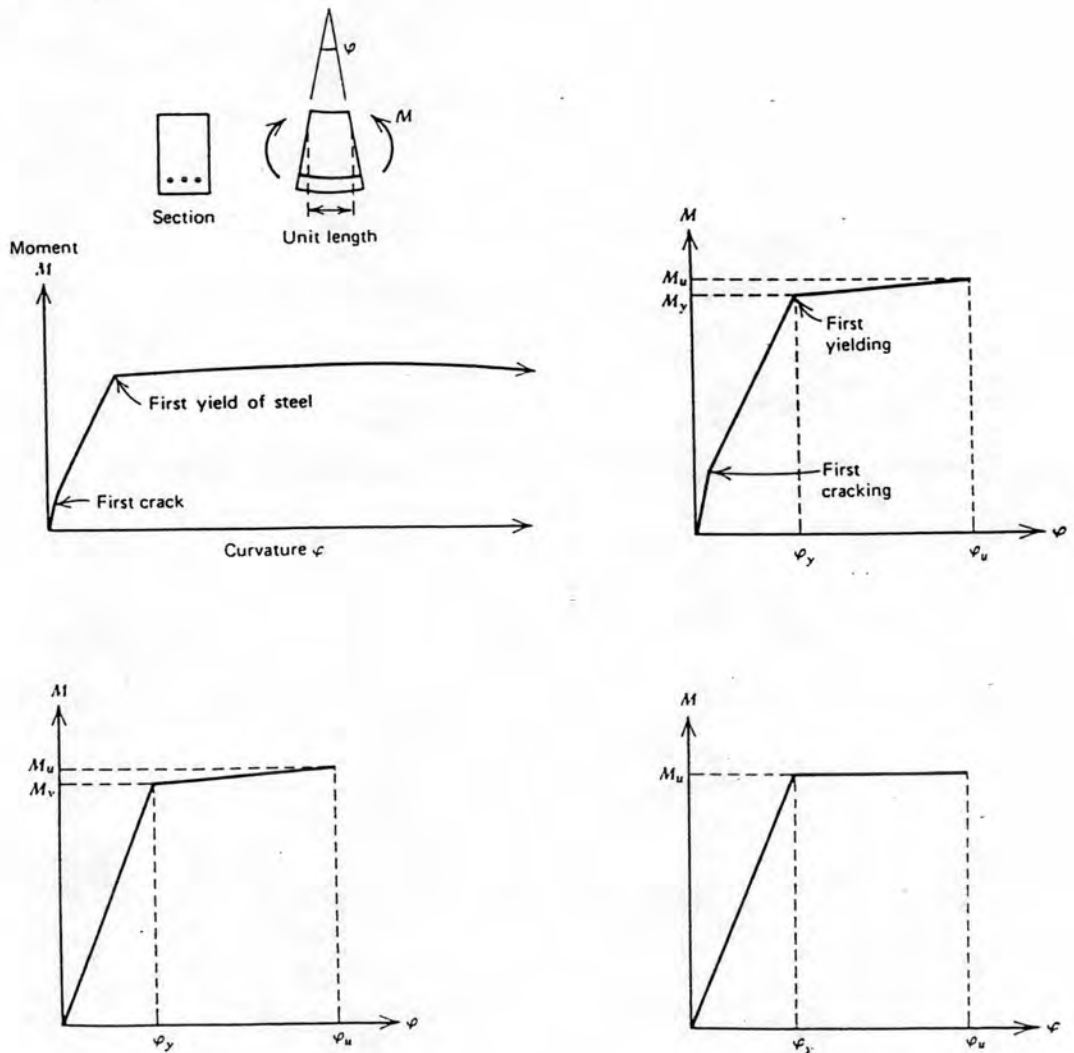
พิจารณาความสัมพันธ์ระหว่างแรงกระทำและการเปลี่ยนตำแหน่ง (load-displacement) ของโครงสร้างคอนกรีตเสริมเหล็กเมื่อทำการวิเคราะห์เพื่อหากำลังรับน้ำหนักสูงสุดพบว่า เป็นลักษณะแบบมีความเหนียวจำกัด (limited ductility characteristic) ในบางตัวอย่างของการวิเคราะห์ พบว่ามีการแตกร้าวและวิบัติอย่างรวดเร็ว (brittle behavior) ในโครงสร้างคอนกรีตเสริมเหล็กแบบ อินดิเทอร์มินเนตจะแสดงพฤติกรรมความเหนียว (ductile behavior) เพราะจะมีการย้อนกลับของ หน่วยแรง (redistribution) เมื่อมีหน่วยแรงเกินความสามารถในการรับหน่วยแรงของหน้าตัดโครงสร้างยังสามารถรับน้ำหนักบรรทุกเพิ่มขึ้นได้อีก และมีการเปลี่ยนแปลงตำแหน่งมากขึ้นก่อนถึง จุดวิบัติ แสดงในรูปที่ 2.9



รูปที่ 2.9 ลักษณะความสัมพันธ์ระหว่างแรงกระทำและการเปลี่ยนตำแหน่ง ของโครงสร้างคอนกรีตเสริมเหล็ก

ตามขั้นตอนของการวิเคราะห์เมื่อพบว่า มีหน้าตัดใดเกิดหน่วยแรงจนเต็มความสามารถ ในการรับหน่วยแรงของหน้าตัด ณ จุดนี้สามารถระบุได้ว่ามีจุดหมุนพลาสติกเกิดขึ้น การหาความสามารถในการรับหน่วยแรงสูงสุดของหน้าตัดหรือ การหาจุดหมุนพลาสติก สามารถกระทำได้จาก การวิเคราะห์หน้าตัด (section analysis) จากขีดจำกัดของคุณสมบัติของหน้าตัด (section properties) ได้แก่ รูปร่าง , ขนาด , ตำแหน่งของเหล็กเสริมรวมทั้งขีดจำกัดของคุณสมบัติของวัสดุ (material properties) คือ คอนกรีตและเหล็กเสริม โดยหลักการของความสอดคล้องของ ความเครียด (strain compatibility) หน้าตัดเกิดหน่วยแรงสูงสุดเมื่อถึงกำลังสูงสุดของวัสดุของหน้า ตัดนั้น คือ คอนกรีตให้กำลังสูงสุดที่ค่าความเครียดประลัย  $\epsilon_{cu} = 0.0030$  และ เหล็กเสริมมี ความเครียดตั้งแต่ค่าความเครียดคลากไปแล้ว ( Nilson and Winter, 1991)

หากพิจารณาความสัมพันธ์ระหว่างค่าโมเมนต์ดัดและค่าความโค้ง ( $M - \phi$ ) ของหน้าตัด โครงสร้างคอนกรีตเสริมเหล็กใดๆ ดังแสดงในรูปที่ 2.10 ค่าแรงดัด  $M_u$  และค่าความโค้ง  $\phi_u$  คือ สภาวะที่หน้าตัดเกิดความเครียดที่วัสดุคอนกรีตหรือเหล็กเสริมมีค่าถึงขีดจำกัดสูงสุด หากสภาวะ ความเครียดนี้มีวัสดุเพียงชนิดเดียวที่มีค่าถึงขีดจำกัดสูงสุด ซึ่งอาจเป็นคอนกรีตหรือเหล็กเสริม หน้าตัดก็สามารถเพิ่มแรงดัดขึ้นได้อีกจนถึงแรงอัดประลัย  $M_u$  และมีค่าความโค้ง  $\phi_u$  ทั้งนี้เป็นไป ตามเสถียรภาพของหน้าตัดซึ่งต้องรักษาสสมดุลระหว่างแรงภายในและแรงภายนอกของหน้าตัด นั้นๆ ไปด้วย จากกราฟอัตราส่วน  $\phi_u$  ต่อ  $\phi_y$  คือ ดัชนีแสดงความเหนียว ( ductility index ) ของ หน้าตัด



รูปที่ 2.10 แสดงลักษณะความสัมพันธ์และแบบจำลองของความสัมพันธ์ระหว่าง ค่าโมเมนต์ดัดและค่าความโค้งของหน้าตัดคอนกรีตเสริมเหล็ก

### ผลของแรงในแนวแกนต่อการเกิดจุดหมุนพลาสติก

หากพิจารณาหน้าตัดซึ่งรับโมเมนต์ดัดเพียงอย่างเดียว ( pure bending ) หน่วยแรงซึ่งเกิดบนหน้าตัดคือ หน่วยแรงอัดในคอนกรีตและหน่วยแรงดึงในเหล็กเสริมซึ่งสมดุลกัน แรงคู่ควบ ( couple force ) นี้ไม่ว่าจะคำนวณหาโมเมนต์ดัด ณ.จุดอ้างอิงใดๆ บนหน้าตัดจะได้ ค่าโมเมนต์ดัดเท่ากับโมเมนต์ดัดซึ่งเกิดขึ้นที่หน้าตัดนั้น จากสมมติฐานเมื่อเกิดหน่วยแรงขึ้นบนหน้าตัด, ระนาบของหน้าตัดยังคงรักษาระนาบและตั้งฉากกับแนวแกนของชิ้นส่วนเสมอทำให้การกระจายความเครียดของหน้าตัดมีลักษณะการกระจายแบบเส้นตรง ( linearly strain distribution )

เมื่อพิจารณาโมเมนต์ดัดร่วมกับแรงในแนวแกนซึ่งอาจเป็นแรงอัดหรือแรงดึงพบว่าหากแรงในแนวแกนเป็นแรงอัดการกระจายความเครียดจะเปลี่ยนไปจากเมื่อรับโมเมนต์ดัดเพียงอย่างเดียวในทางที่มีหน่วยแรงอัดบนหน้าตัดเพิ่มขึ้น โดยการปรับความเครียดที่ผิวด้านรับแรงอัดและปรับตำแหน่งของแนวแกนสะเทินของหน้าตัด เพื่อรักษาสมดุลทั้งโมเมนต์ดัดและแรงในแนวแกนที่เกิดขึ้นที่หน้าตัดนั้นๆ ในลักษณะเดียวกันเมื่อแรงในแนวแกนเป็นแรงดึงการกระจายความเครียดจะเปลี่ยนไปในทางที่มีหน่วยแรงดึงบนหน้าตัดเพิ่มขึ้น

หน้าตัดคอนกรีตเสริมเหล็กเมื่อมีโมเมนต์ดัดร่วมกับแรงในแนวแกนจะทำให้หน้าตัดถึงขีดจำกัดของวัสดุเร็วกว่าหน้าตัดซึ่งรับโมเมนต์ดัดเพียงอย่างเดียว หน้าตัดคอนกรีตเสริมเหล็กซึ่งมีโมเมนต์ดัดร่วมกับแรงอัดในแนวแกนทำให้หน้าตัดถึงขีดจำกัดของคอนกรีตซึ่งกำหนดค่าความเครียดสูงสุดที่ผิวเนื่องจากหน่วยแรงอัดโดยทั่วไปที่ 0.003 หากมีโมเมนต์ดัดร่วมกับแรงดึงในแนวแกนทำให้หน้าตัดถึงขีดจำกัดของเหล็กเสริมด้านรับแรงดึง ซึ่งโดยทั่วไปกำหนดจุดคลากที่ค่าความเครียดของเหล็กเท่ากับ 0.002

ในการวิเคราะห์กำลังรับน้ำหนักสูงสุดของโครงสร้างคอนกรีตเสริมเหล็กโดยการเพิ่มน้ำหนักขึ้นเรื่อยๆ ( load control method ) ที่หน้าตัดใดๆ เมื่อมีการเพิ่มน้ำหนักบรรทุกก็จะมี การเปลี่ยนแปลงทั้งโมเมนต์ดัดและแรงในแนวแกน ดังนั้นการจะใช้ค่าโมเมนต์พลาสติกหรือค่าความโค้งพลาสติกจากความสัมพันธ์ของโมเมนต์และค่าความโค้ง ( $M - \phi$ ) เพื่อระบุการเกิดจุดหมุนพลาสติกจะต้องคำนึงถึงแรงในแนวแกนที่กระทำต่อหน้าตัดด้วย หรือกล่าวได้ว่าสำหรับหน้าตัดเดียวกันจะมีค่าโมเมนต์พลาสติกและค่าความโค้งพลาสติกต่างกันขึ้นอยู่กับแรงในแนวแกนซึ่งกระทำต่อหน้าตัดในขณะนั้น

การเปลี่ยนแปลงเมตริกซ์สติฟเนสของชิ้นส่วนเมื่อเกิดจุดหมุนพลาสติก

เมื่อเกิดจุดหมุนพลาสติกขึ้นที่ส่วนใด ๆ ในโครงสร้าง จะทำการเปลี่ยนสภาพความต่อเนื่องของจุดต่อไปเป็นแบบข้อหมุน โดยลดดีกรีความอิสระ ( degree of freedom ) ที่เกี่ยวข้องลง พิจารณาสมการที่(2.41) ในรูปการเพิ่มแรงกระทำและการเปลี่ยนแปลงตำแหน่ง ( incremental form ) เพื่อให้สอดคล้องกับวิธีการเชิงเลขที่ใช้ในการวิเคราะห์ สามารถเขียนเป็นสมการได้ดังนี้

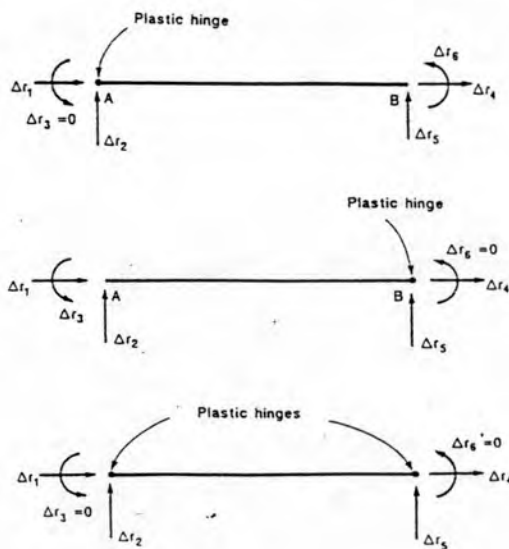
$$\{\Delta R\} = [K]\{\Delta r\} \tag{2.62}$$

เขียนเป็นรูปแบบขยายได้เป็น

$$\begin{Bmatrix} \Delta R_1 \\ \Delta R_2 \\ \Delta R_3 \\ \Delta R_4 \\ \Delta R_5 \\ \Delta R_6 \end{Bmatrix} = \begin{bmatrix} K_{11} & K_{12} & K_{13} & K_{14} & K_{15} & K_{16} \\ & K_{22} & K_{23} & K_{24} & K_{25} & K_{26} \\ & & K_{33} & K_{34} & K_{35} & K_{36} \\ & & & K_{44} & K_{45} & K_{46} \\ & & & & K_{55} & K_{56} \\ & & & & & K_{66} \end{bmatrix} \begin{Bmatrix} \Delta r_1 \\ \Delta r_2 \\ \Delta r_3 \\ \Delta r_4 \\ \Delta r_5 \\ \Delta r_6 \end{Bmatrix} \tag{2.63}$$

*Sym.*

เมื่อ  $K_{ij} (i=1-6, j=1-6)$  คือ ค่าสัมประสิทธิ์ของเมตริกซ์สติฟเนส



รูปที่ 2.11 องค์อาคารเมื่อเกิดจุดหมุนพลาสติกที่ปลาย

พิจารณารูปที่ 2.11 เมื่อเกิดจุดหมุนพลาสติกขึ้นที่ปลายด้าน A จะได้  $\Delta R_3 = 0$

$$\Delta r_3 = \frac{1}{K_{33}} (-K_{31}\Delta r_1 - K_{32}\Delta r_2 - K_{34}\Delta r_4 - K_{35}\Delta r_5 - K_{36}\Delta r_6) \quad (2.64)$$

แทนค่าลงในแบบขยาย

$$\begin{Bmatrix} \Delta R_1 \\ \Delta R_2 \\ 0 \\ \Delta R_4 \\ \Delta R_5 \\ \Delta R_6 \end{Bmatrix} = \begin{bmatrix} K_{11} - \frac{K_{13}^2}{K_{33}} & K_{12} - \frac{K_{13}K_{32}}{K_{33}} & 0 & K_{14} - \frac{K_{13}K_{34}}{K_{33}} & K_{15} - \frac{K_{13}K_{35}}{K_{33}} & K_{16} - \frac{K_{13}K_{36}}{K_{33}} \\ & K_{22} - \frac{K_{23}^2}{K_{33}} & 0 & K_{24} - \frac{K_{23}K_{34}}{K_{33}} & K_{25} - \frac{K_{23}K_{35}}{K_{33}} & K_{26} - \frac{K_{23}K_{36}}{K_{33}} \\ & & 0 & 0 & 0 & 0 \\ & & & K_{44} - \frac{K_{43}^2}{K_{33}} & K_{45} - \frac{K_{43}K_{35}}{K_{33}} & K_{46} - \frac{K_{43}K_{36}}{K_{33}} \\ & & & & K_{55} - \frac{K_{53}^2}{K_{33}} & K_{56} - \frac{K_{53}K_{36}}{K_{33}} \\ & & & & & K_{66} - \frac{K_{63}^2}{K_{33}} \end{bmatrix} \begin{Bmatrix} \Delta r_1 \\ \Delta r_2 \\ \Delta r_3 \\ \Delta r_4 \\ \Delta r_5 \\ \Delta r_6 \end{Bmatrix} \quad (2.65)$$

*Sym.*

กรณีเกิดจุดหมุนพลาสติกขึ้นที่ด้านปลาย B จะได้  $\Delta R_6 = 0$

$$\Delta r_6 = \frac{1}{K_{66}} (-K_{61}\Delta r_1 - K_{62}\Delta r_2 - K_{63}\Delta r_3 - K_{64}\Delta r_4 - K_{65}\Delta r_5) \quad (2.66)$$

แทนค่าลงในแบบขยาย

$$\begin{Bmatrix} \Delta R_1 \\ \Delta R_2 \\ \Delta R_3 \\ \Delta R_4 \\ \Delta R_5 \\ 0 \end{Bmatrix} = \begin{bmatrix} K_{11} - \frac{K_{16}^2}{K_{66}} & K_{12} - \frac{K_{16}K_{62}}{K_{66}} & K_{13} - \frac{K_{16}K_{63}}{K_{66}} & K_{14} - \frac{K_{16}K_{64}}{K_{66}} & K_{15} - \frac{K_{16}K_{65}}{K_{66}} & 0 \\ & K_{22} - \frac{K_{26}^2}{K_{66}} & K_{23} - \frac{K_{26}K_{63}}{K_{66}} & K_{24} - \frac{K_{26}K_{64}}{K_{66}} & K_{25} - \frac{K_{26}K_{65}}{K_{66}} & 0 \\ & & K_{33} - \frac{K_{36}^2}{K_{66}} & K_{34} - \frac{K_{36}K_{64}}{K_{66}} & K_{35} - \frac{K_{36}K_{65}}{K_{66}} & 0 \\ & & & K_{44} - \frac{K_{46}^2}{K_{66}} & K_{45} - \frac{K_{46}K_{65}}{K_{66}} & 0 \\ & & & & K_{55} - \frac{K_{56}^2}{K_{66}} & 0 \\ & & & & & 0 \end{bmatrix} \begin{Bmatrix} \Delta r_1 \\ \Delta r_2 \\ \Delta r_3 \\ \Delta r_4 \\ \Delta r_5 \\ \Delta r_6 \end{Bmatrix} \quad (2.67)$$

*Sym.*



กรณีเกิดจุดหมุนพลาสติกทั้งสองปลายจัดรูปของเมตริกซ์สติฟเนสได้เป็น

$$\begin{Bmatrix} \Delta R_1 \\ \Delta R_2 \\ \Delta R_4 \\ \Delta R_5 \\ \Delta R_3 \\ \Delta R_6 \end{Bmatrix} = \begin{bmatrix} K_{11} & K_{12} & K_{14} & K_{15} & K_{13} & K_{16} \\ & K_{22} & K_{24} & K_{25} & K_{23} & K_{26} \\ & & K_{33} & K_{35} & K_{33} & K_{36} \\ & & & K_{44} & K_{43} & K_{46} \\ \text{Sym.} & & & & K_{53} & K_{56} \\ & & & & & K_{66} \end{bmatrix} \begin{Bmatrix} \Delta r_1 \\ \Delta r_2 \\ \Delta r_4 \\ \Delta r_5 \\ \Delta r_3 \\ \Delta r_6 \end{Bmatrix} \quad (2.68)$$

$$\Delta R_3 = \Delta R_6 = 0$$

หรือจัดในรูปเมตริกซ์ย่อยได้เป็น

$$\begin{Bmatrix} \Delta\{R\}_a \\ \Delta\{R\}_b \end{Bmatrix} = \begin{bmatrix} [K]_{aa} & [K]_{ab} \\ [K]_{ba} & [K]_{bb} \end{bmatrix} \begin{Bmatrix} \Delta\{r\}_a \\ \Delta\{r\}_b \end{Bmatrix} \quad (2.69)$$

เมื่อ  $\Delta\{R\}_a$  เป็นเวกเตอร์ของแรงกระทำที่ไม่เป็นศูนย์

$\Delta\{R\}_b$  เป็นเวกเตอร์ของแรงกระทำที่เป็นศูนย์  $\Delta R_3$  และ  $\Delta R_6$

$$\Delta\{R\}_b = 0$$

$$\Delta\{R\}_b = [K]_{ba} \Delta\{r\}_a + [K]_{bb} \Delta\{r\}_b = 0$$

$$\Delta\{r\}_b = -[K]_{bb}^{-1}([K]_{ba} \Delta\{r\}_a)$$

$$\Delta\{R\}_a = ([K]_{aa} - [K]_{ab}[K]_{bb}^{-1}[K]_{ba}) \Delta\{r\}_a \quad (2.70)$$

หรือจัดรูปใหม่ได้เป็น

$$\Delta\{R\}_a = -[K]' \Delta\{r\}_a \quad (2.71)$$

### สรุปขั้นตอนการวิเคราะห์อีลาสติค-พลาสติกอันดับที่สองของโครงข้อแข็งคอนกรีตเสริมเหล็ก

การวิเคราะห์อีลาสติค-พลาสติกอันดับที่สองของโครงข้อแข็งคอนกรีตเสริมเหล็กกระทำโดยการรวมขั้นตอนการวิเคราะห์การเกิดจุดหมุนพลาสติก และการวิเคราะห์ความไม่เป็นเชิงเส้นทางเรขาคณิตและทางวัสดุเข้าด้วยกัน ลำดับการวิเคราะห์มีดังนี้

1. ที่ขั้นตอนใด ๆ ที่ตัวประกอบน้ำหนักมีค่าเป็น  $\lambda_i$  หาแรงภายในของชิ้นส่วนทุกชิ้นส่วน
2. นำผลของแรงภายในที่ได้ไปปรับปรุงค่าสติฟเนสของชิ้นส่วนตามลำดับ
3. ทำการสร้างเมตริกซ์สติฟเนสของโครงสร้างโดยวิธีการรวมสติฟเนสโดยตรง
4. เพิ่มน้ำหนักบรรทุกทุกเป็น  $\lambda_{i+1}$
5. ทำการวิเคราะห์โดยการกำจัดแบบเกาซ์เพื่อหาการเปลี่ยนแปลงตำแหน่งและแรงภายใน แล้วหาผลต่างระหว่างแรงภายในขั้นตอนที่  $i$  และ ขั้นตอนที่  $i+1$  ได้เวกเตอร์ของแรงคงค้างในการทำซ้ำรอบแรก
6. คำนวณค่ายูคลีเดียนนอร์มของเวกเตอร์ของแรงคงค้าง (unbalanced force vector) โดยคำนวณได้จากสมการ(2.47) ( Bathe and Wilson,1976 )

$$\| Q \| = \sqrt{\sum_{i=1}^n q_i^2}$$

7. เปรียบเทียบค่ายูคลีเดียนนอร์มของแรงคงค้างกับยูคลีเดียนนอร์มของแรงเริ่มต้น โดยงานวิจัยนี้ใช้เงื่อนไขการลู่เข้าหาคำตอบจากสมการ(2.48) ( Zienkiewics and Taylor,1991 )

$$\| Q \| \leq \frac{0.1}{100} \| \Delta R \|$$

หากค่ายูคลีเดียนนอร์มของแรงคงค้างเป็นไปตามเงื่อนไข ก็จะทำในขั้นตอนที่ 8 ต่อไป แต่ถ้าหากค่ายูคลีเดียนนอร์มไม่เป็นไปตามเงื่อนไข จะต้องกระทำในขั้นตอนที่ 1 ถึง 7 ใหม่โดยให้เวกเตอร์ของแรงกระทำคือเวกเตอร์ของแรงคงค้าง

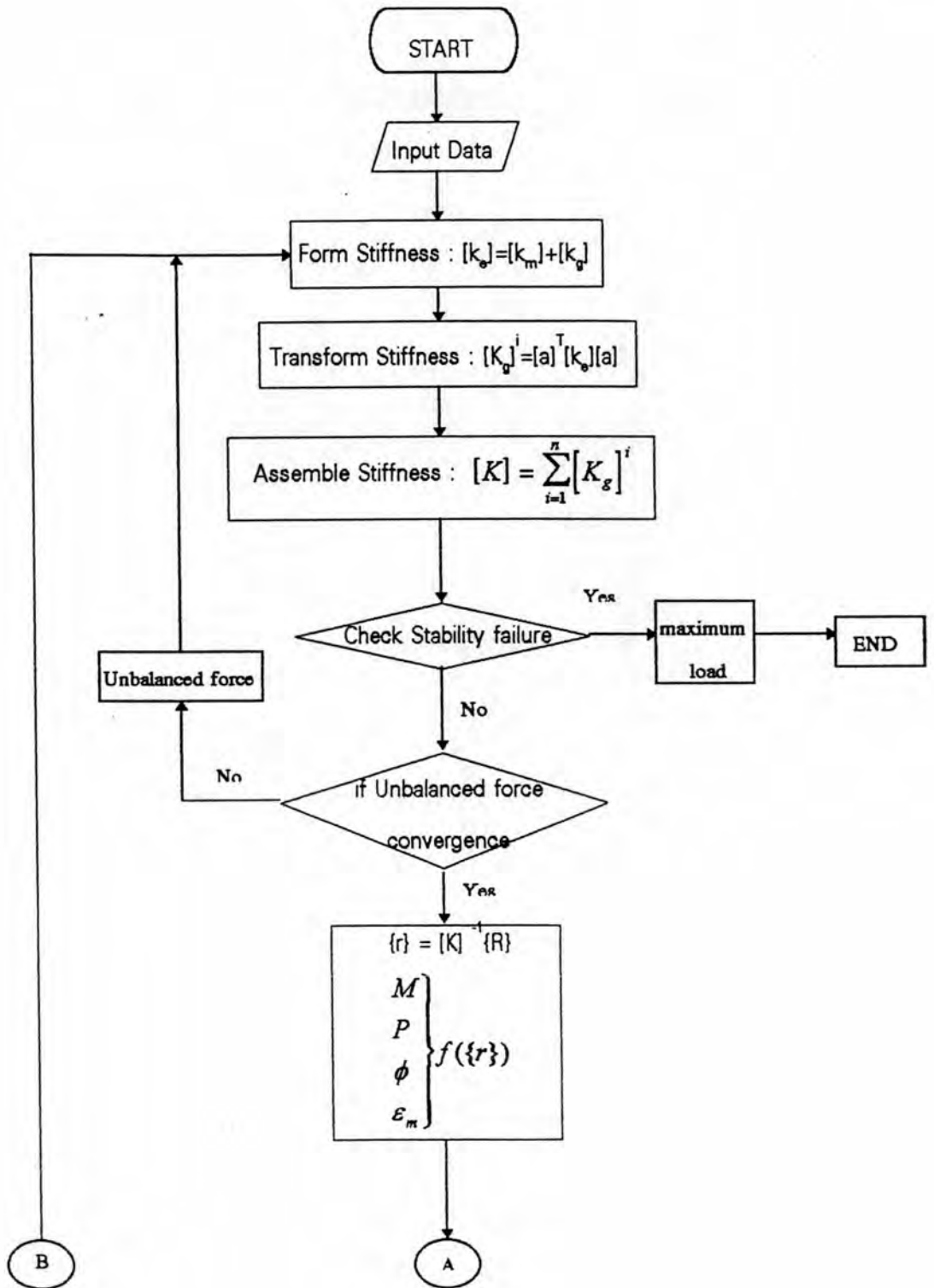
8. จากวิธีการวิเคราะห์หน้าตัดหาความสัมพันธ์ระหว่างโมเมนต์ดัดและค่าความโค้งเพื่อปรับปรุงสติเฟเนสด้วยวิธี central difference ได้สติเฟเนสเมตริกซ์สัมพันธ์ใหม่ ในขั้นตอนการวิเคราะห์นี้สามารถตรวจสอบการเกิดจุดหมุนพลาสติกพร้อมกันไปด้วย. ถ้าตรวจสอบพบทำการเปลี่ยนสภาพของจุดต่อไปเป็นแบบข้อหมุนและปรับลดตีความอิสระของโครงสร้างต่อไป

9. คำนวณหาตำแหน่งจุดต่อที่เปลี่ยนไปของโครงสร้าง เพื่อเป็นตำแหน่งอ้างอิงทางเรขาคณิตของโครงสร้างใหม่แล้วทำการเพิ่มน้ำหนักบรรทุกเป็น  $\lambda_{i+2}$  เป็นขั้นตอนถัดไป

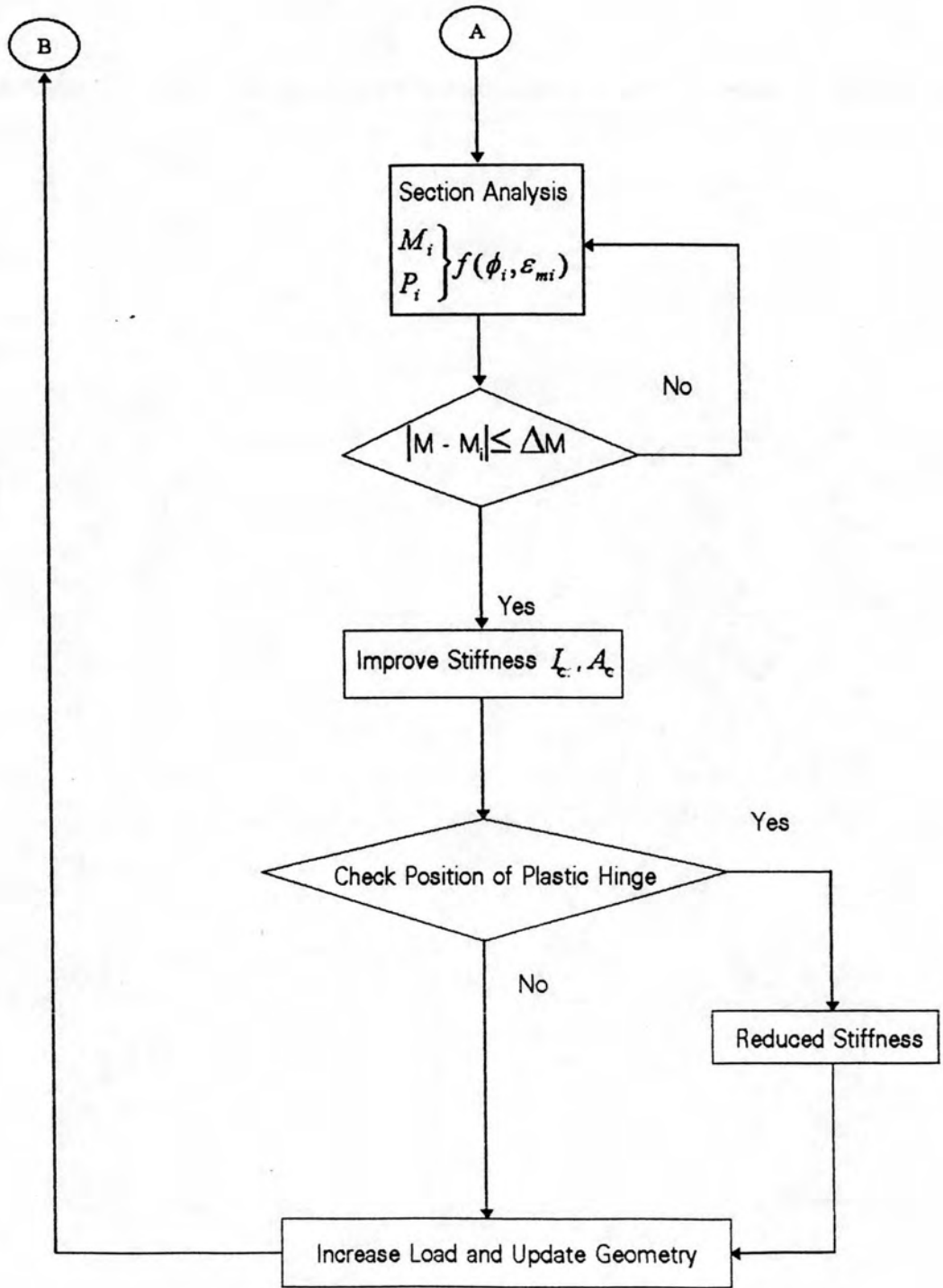
10. หลังจากการกำจัดแบบเกาซ์ของส่วนเมตริกซ์สติเฟเนสของโครงสร้างทุกครั้งจะต้องทำการตรวจสอบเสถียรภาพของโครงสร้างโดยการตรวจสอบค่าของสมาชิกแต่ละตัวตามแนวทแยง ( diagonal elements ) ของเมตริกซ์สติเฟเนสของโครงสร้าง ถ้าโครงสร้างมีเสถียรภาพค่าของสมาชิกตามแนวทแยงของเมตริกซ์สติเฟเนสทุกตัวจะมีค่ามากกว่าศูนย์ แต่ถ้าหากสมาชิกตามแนวทแยงของเมตริกซ์สติเฟเนสตัวใดตัวหนึ่งหรือหลายตัวมีค่าเปลี่ยนเป็นค่าน้อยกว่าหรือเท่ากับศูนย์ โครงสร้างจะมีการเคลื่อนที่แบบวัตถุแข็ง ( rigid body motion ) เสถียรภาพของโครงสร้างจะหมดไป

11. เมื่อมีจุดหมุนพลาสติกมากพอโครงสร้างจะมีการเปลี่ยนตำแหน่งมากอย่างไม่จำกัด และไม่สามารถรับน้ำหนักบรรทุกเพิ่มขึ้นได้อีก, แสดงว่าโครงสร้างหมดเสถียรภาพ

แผนภูมิขั้นตอนการวิเคราะห์แสดงในรูปที่ 2.12



รูปที่ 2.12 แสดงแผนภูมิขั้นตอนการวิเคราะห์ในงานวิจัยนี้



รูปที่ 2.12(ต่อ) แสดงแผนภูมิขั้นตอนการวิเคราะห์ในงานวิจัยนี้